

Abb. 1: Frequenzgang der Z-190 im geschlossenen Gehäuse mit 45 l Volumen

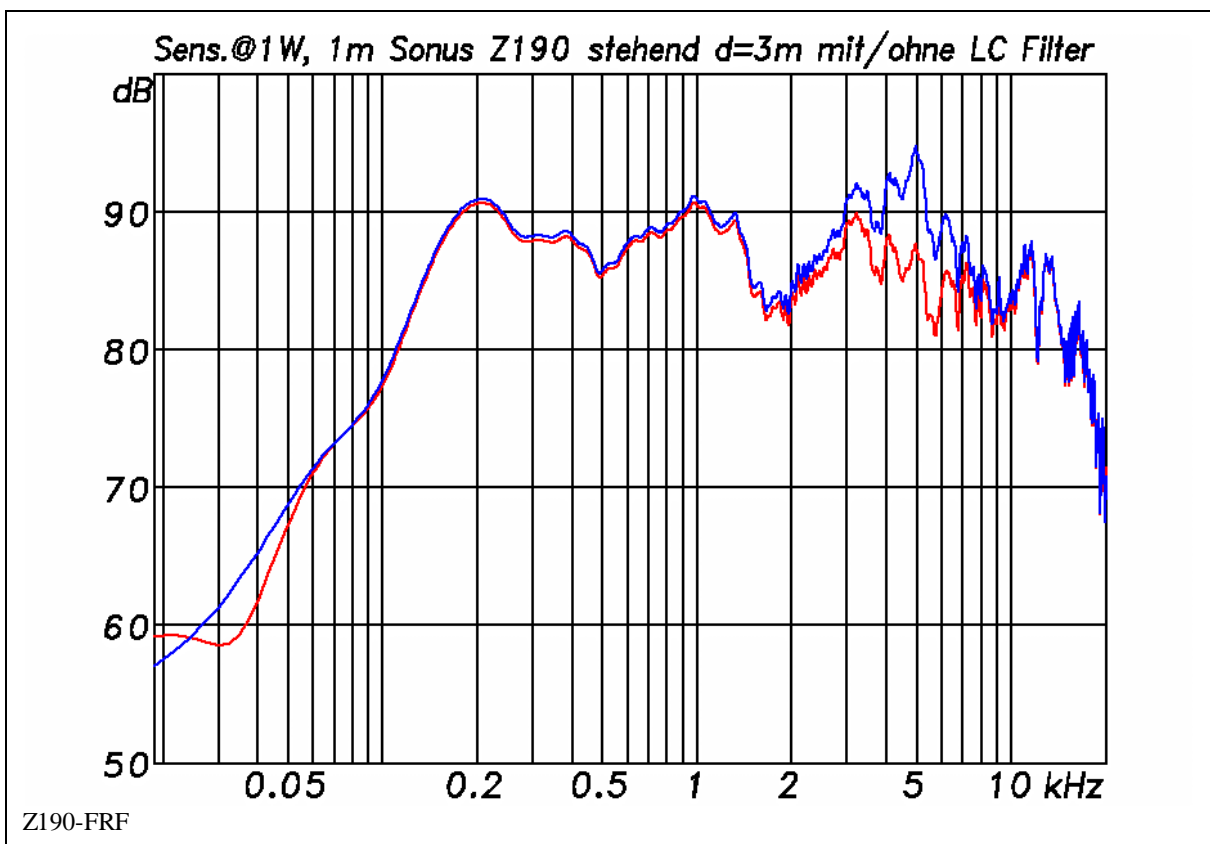


Abb. 2: Frequenzgang der Z-190 mit und ohne passives EQ-Filter

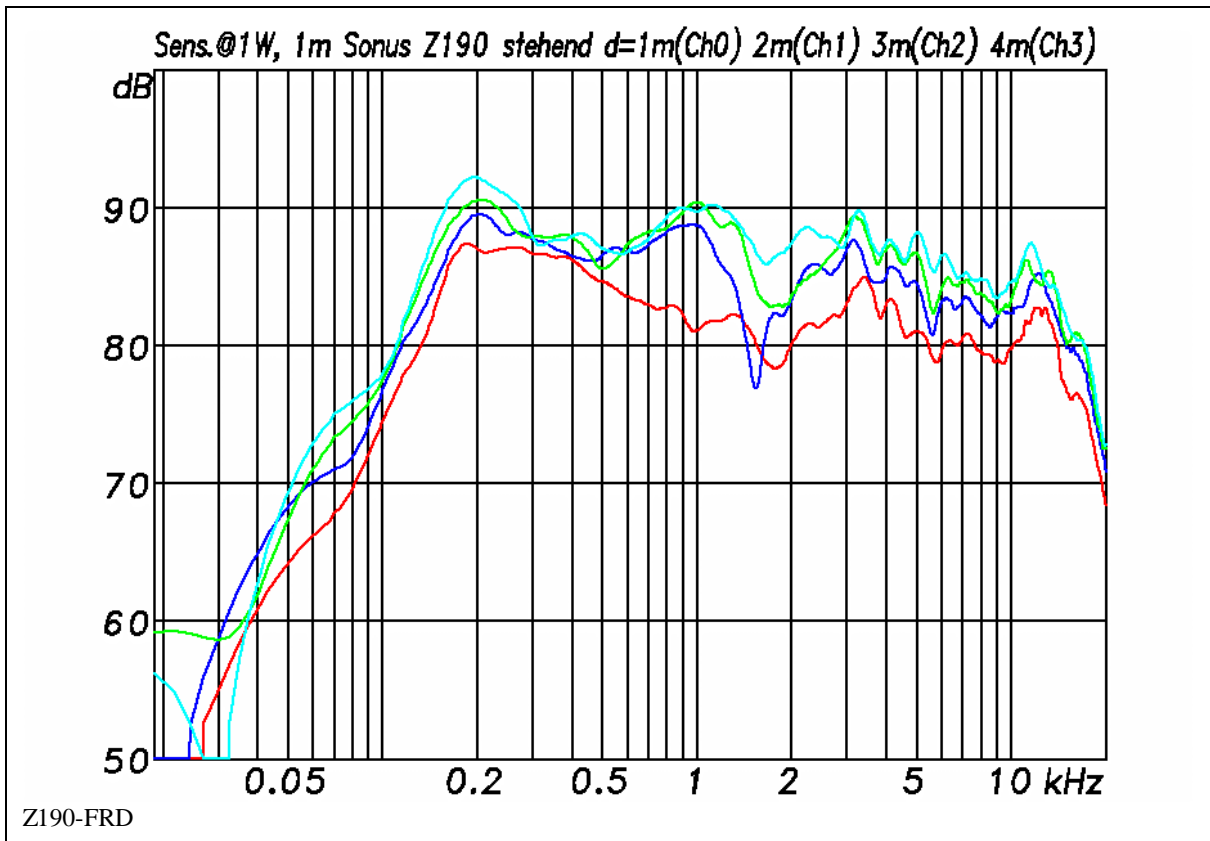


Abb. 3: Frequenzgang der Z-190 gemessen in d=1m(rt), d=2m(dbl), d=3m(gr) und d=4m(hbl)

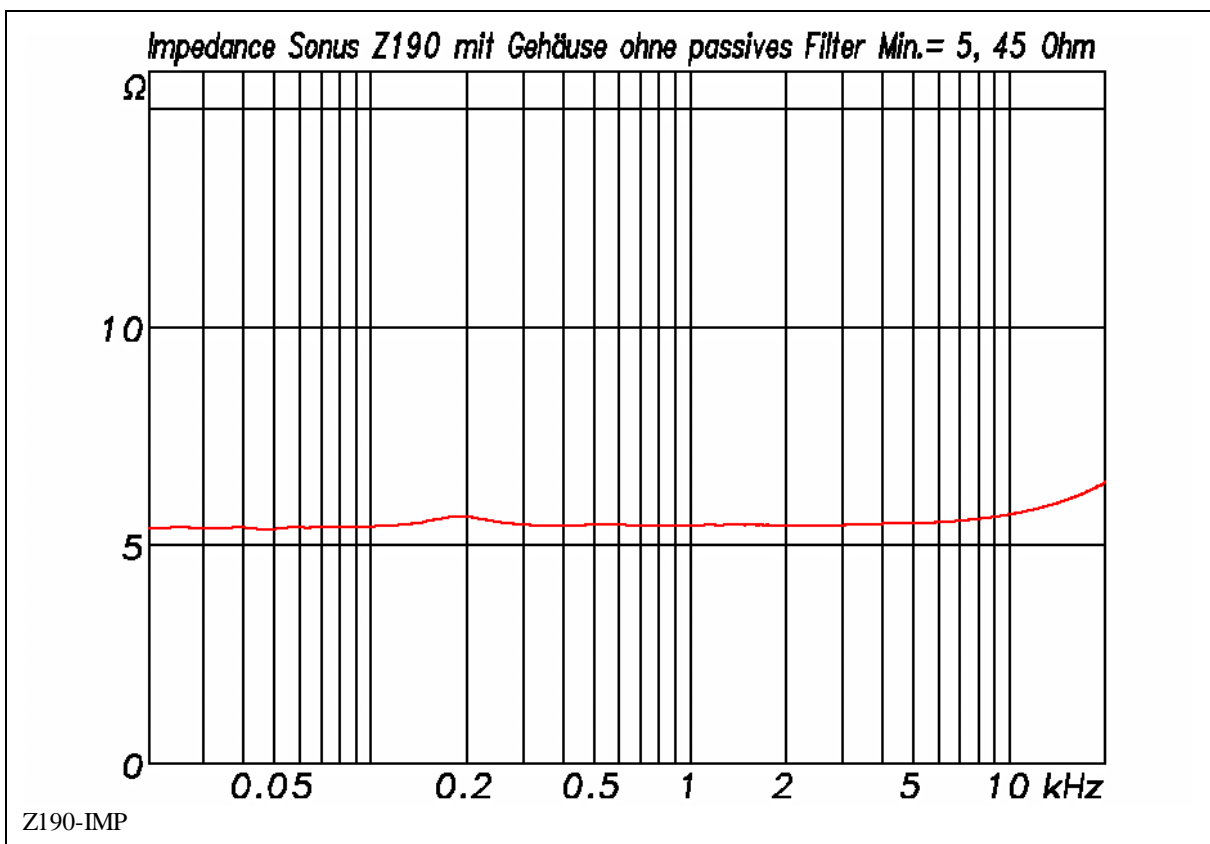


Abb. 4: Impedanzverlauf der Z190

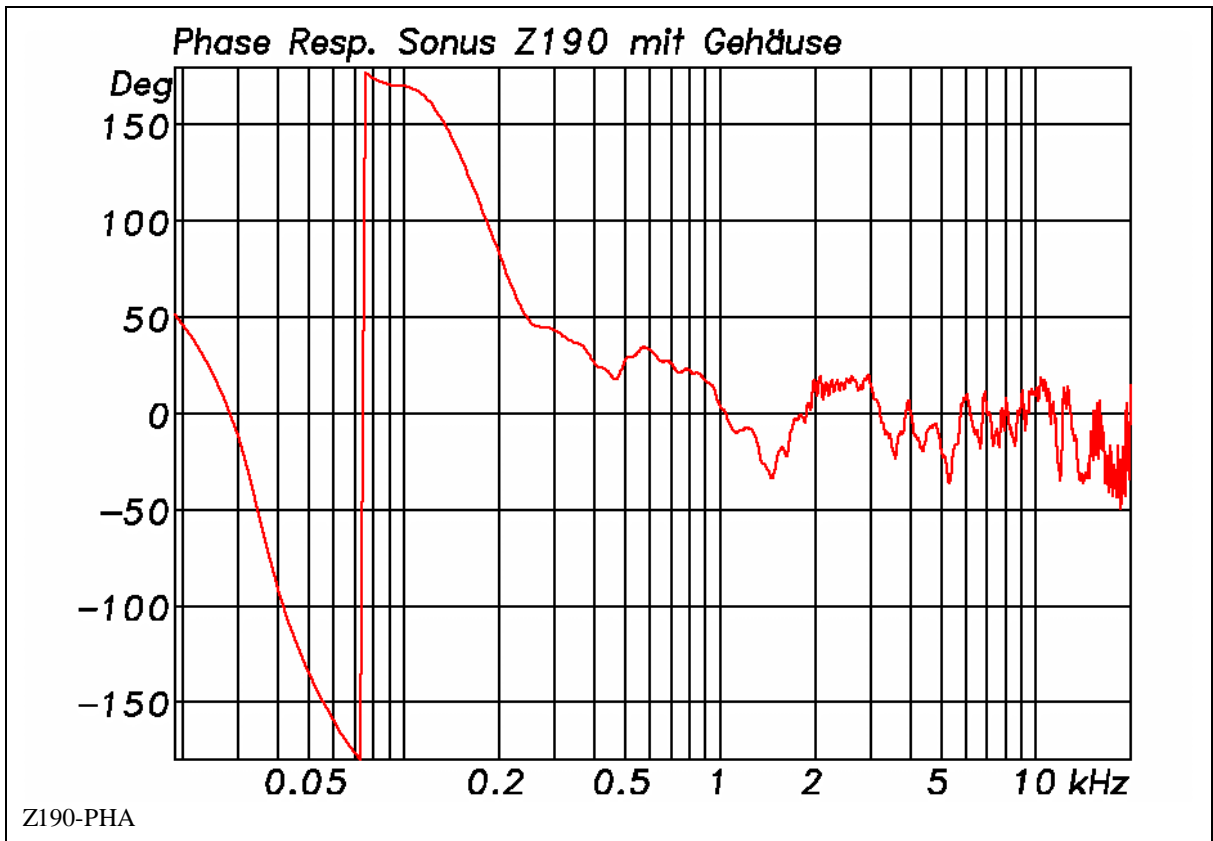


Abb. 5: Phasenverlauf der Z190

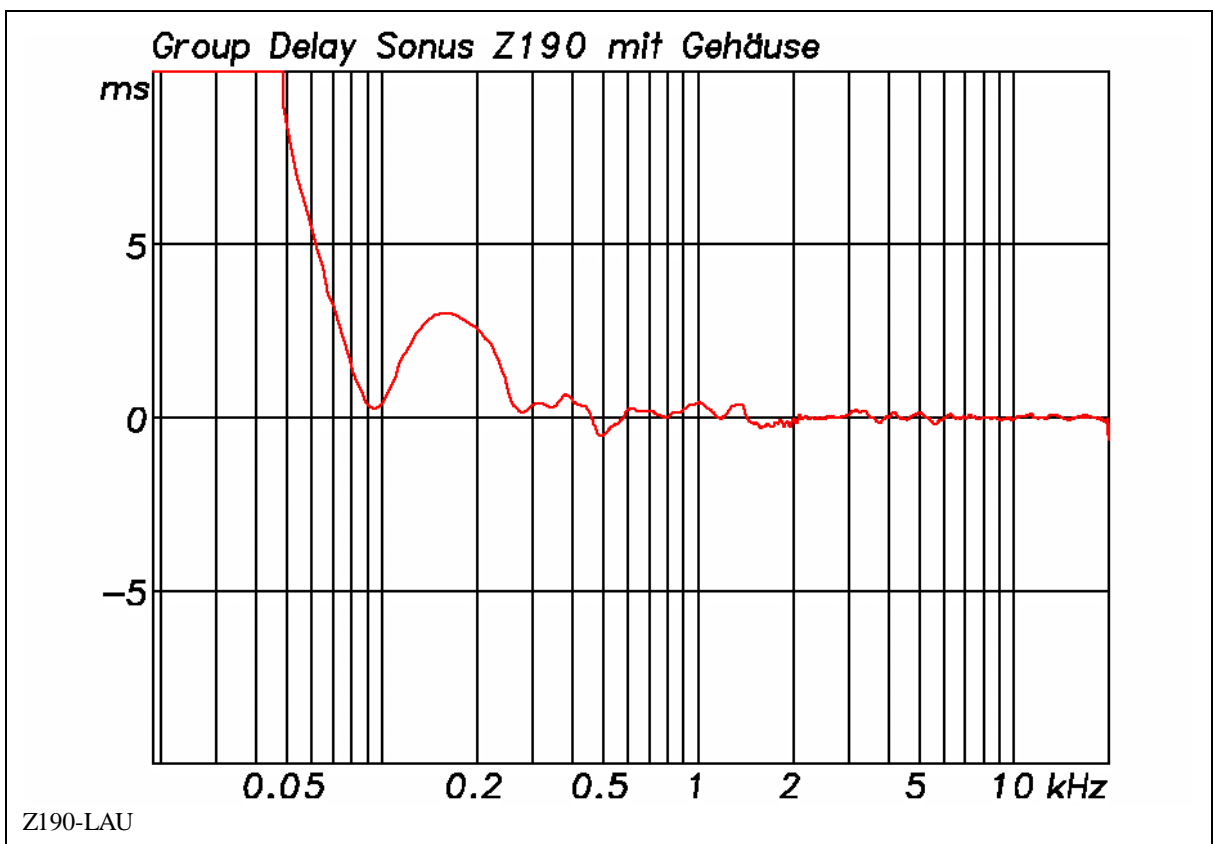


Abb. 6: Laufzeitverhalten der Z190

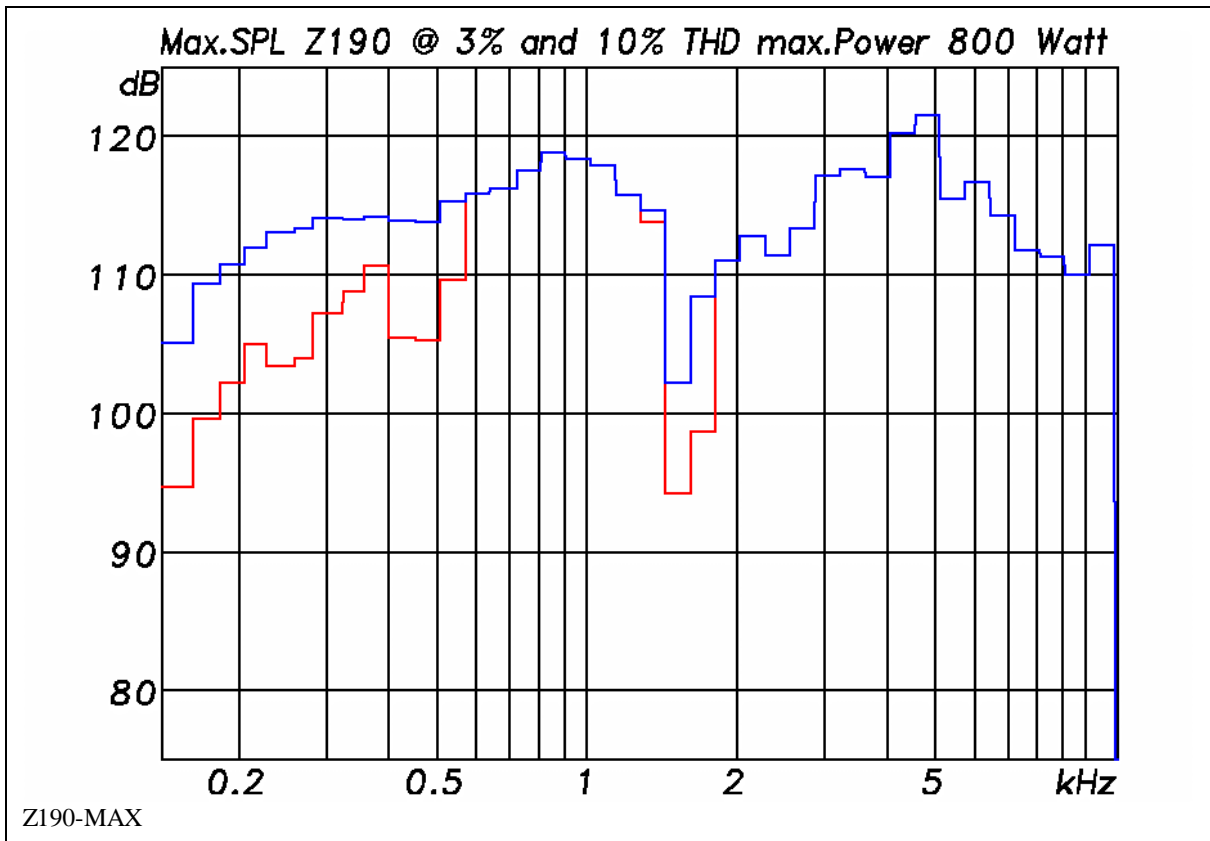


Abb. 7: Maximaler Pegel bei 3% und 10% THD (Z190)

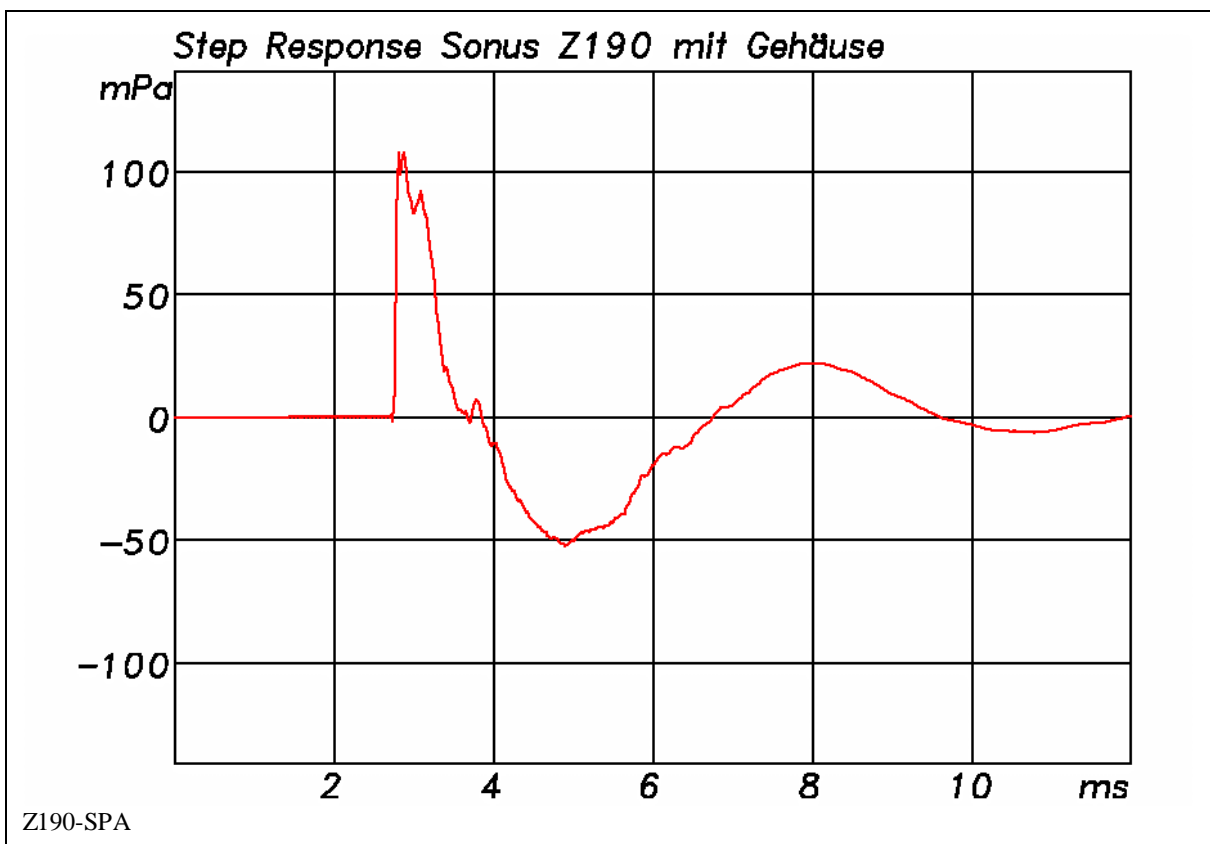


Abb. 8: Sprungantwort der Z190

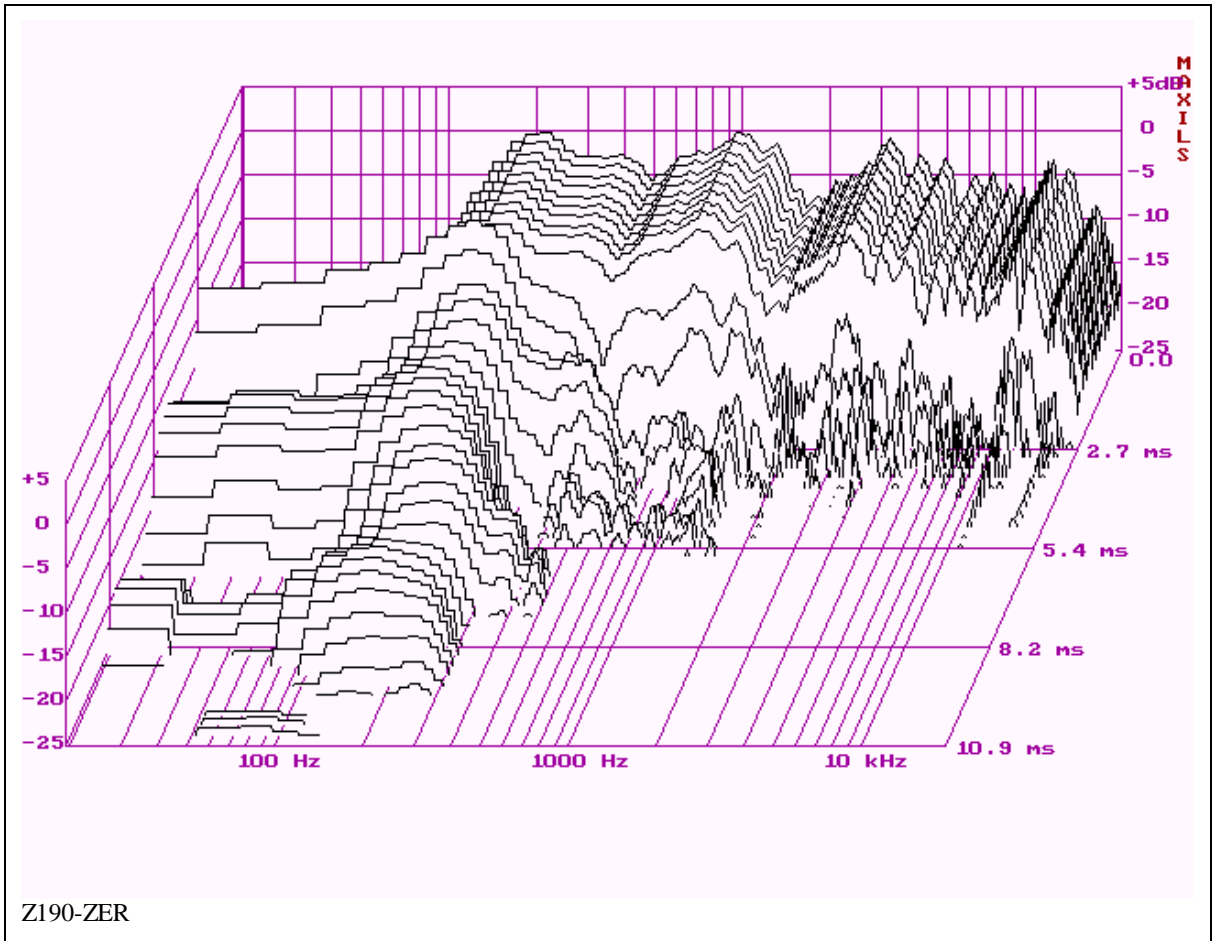


Abb. 9: Zerfallsspektrum der Z190

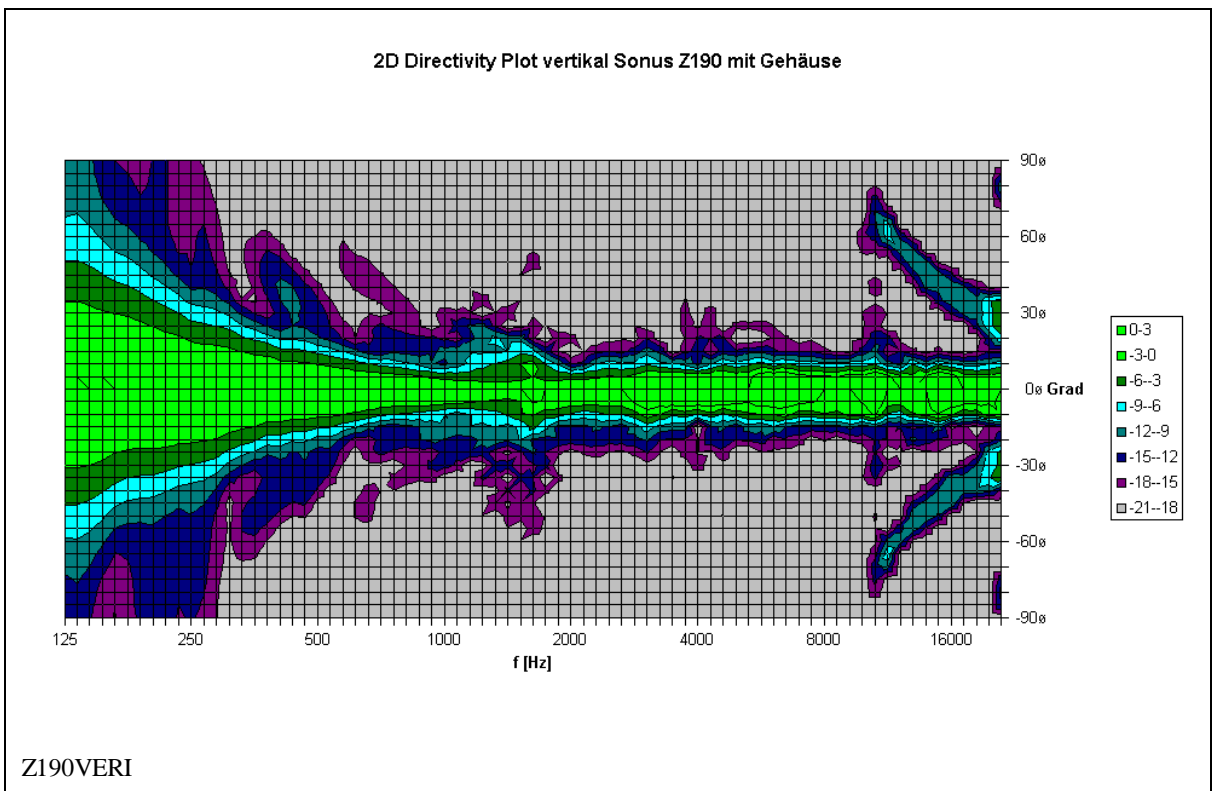


Abb. 10: Vertikales Abstrahlverhalten der Z190

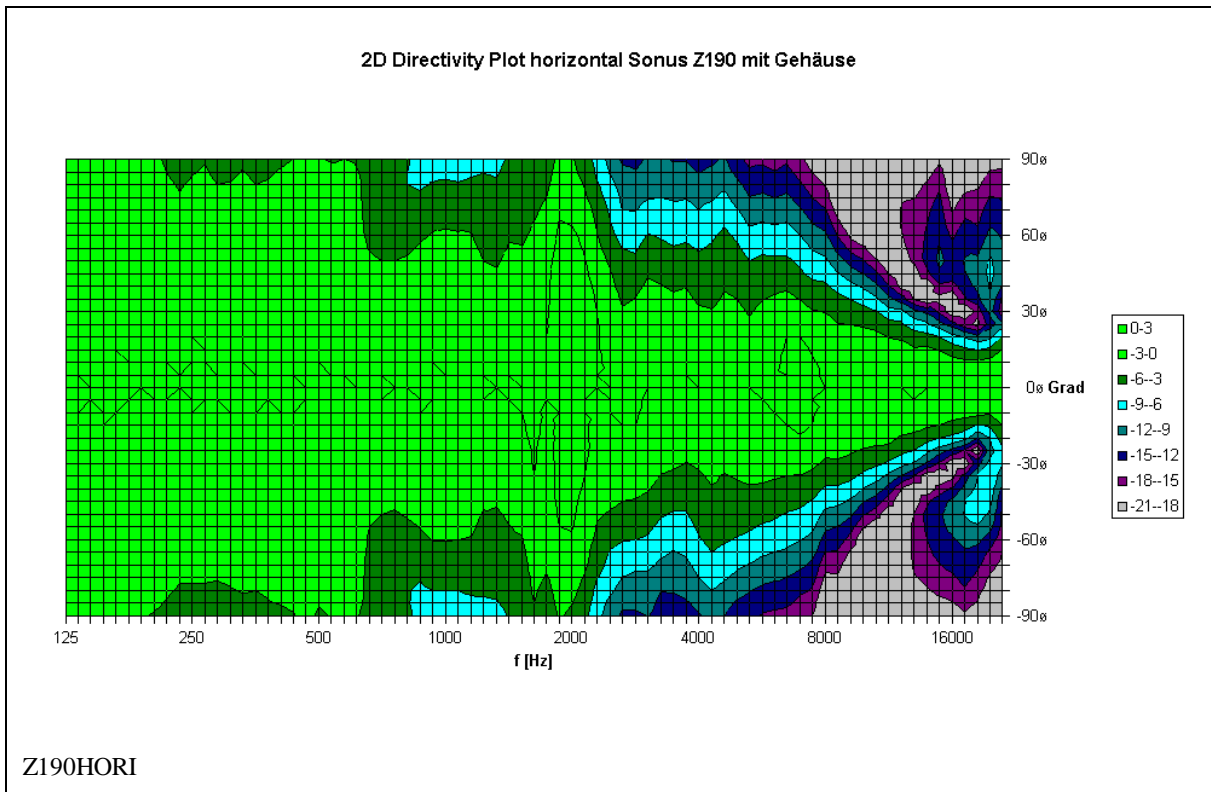


Abb. 11: Horizontales Anstrahlverhalten der Z190 im Gehäuse

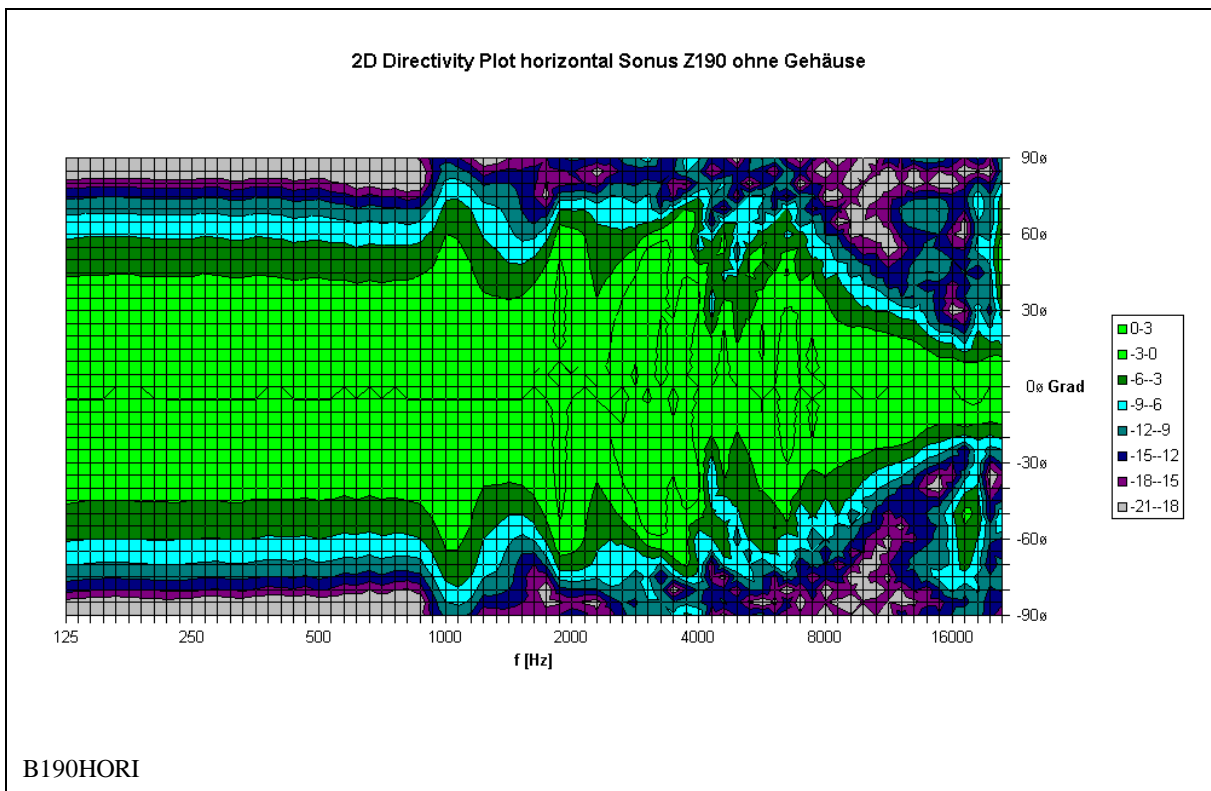


Abb. 12: Horizontales Anstrahlverhalten der Z190 ohne gehäuse als Dipolstrahler

....